酶促构建葡萄糖修饰脑靶向载紫杉醇脂质体制备处方及其工艺优化

聂 华,梁 香,赵 莹,张声源* 嘉应学院医学院,广东梅州 514031

摘 要:目的 在非水相中利用酶法合成脑靶向脂质材料胆固醇-癸二酸-葡萄糖酯 [(5-cholesten-3β-yl)(*D*-glucopyranose-6) sebacate,CHS-SE-GLU],并对其修饰的载紫杉醇脂质体制备处方及其工艺进行优化。方法 以 *D*-葡萄糖和前期合成的胆固醇-癸二酸单烯酯(CHS-SE)为原料,在丙酮中用利用脂肪酶 Novozym 435 催化合成 CHS-SE-GLU,利用 MS、NMR 对产物进行结构表征,采用薄膜分散法制备 CHS-SE-GLU 修饰的脑靶向载紫杉醇脂质体(GLU-PTX-LP),并通过单因素考察对其制备处方及工艺进行优化。结果 合成的 CHS-SE-GLU 经 MS、NMR 鉴定为目标产物,对其修饰的 GLU-PTX-LP 最佳制备处方工艺为采用氢化大豆磷脂(HSPC)作为膜材,HSPC 与紫杉醇(PTX)比例为 0.1:1,胆固醇(CHS)与 HSPC 比例为 0.5:1,二硬脂酰磷脂酰甘油钠(DSPG-Na)用量为 2.5%,水化时间为 0.5 h,水化温度为 50 ℃。采用上述工艺处方制备 3 批样品,测定包封率分别为(93.62±1.34)%、(93.75±1.77)%、(92.04±1.50)%,平均粒径分别为(89.56±1.35)、(92.05±3.42)、(104.91±3.71)nm,Zeta 电位分别为(−25.21±0.27)、(−26.43±0.44)、(−25.17±0.65)mV。结论 采用生物酶催化法合成脑靶向脂质材料,工艺简单,产率高,绿色环保;用其修饰的 GLU-PTX-LP 包封率、粒径及稳定性均符合要求,应用前景良好。

关键词: 胆固醇衍生物; 脂质体; 葡萄糖转运蛋白; 酶促; 脑靶向; 非水相; 薄膜分散法; 紫杉醇; 生物酶催化法

中图分类号: R283.6 文献标志码: A 文章编号: 0253 - 2670(2016)11 - 1867 - 08

DOI: 10.7501/j.issn.0253-2670.2016.11.010

Lipase-catalyzed construction of glucose-modified brain targeting liposomes with paclitaxel and research on its optimized preparation process

NIE Hua, LIANG Xiang, ZHAO Ying, ZHANG Sheng-yuan Medical College of Jiaying University, Meizhou 514031, China

Abstract: Objective To synthesize brain targeting lipid material [(5-cholesten-3β-yl)(*D*-glucopyranose-6) sebacate, CHS-SE-GLU] by lipase as catalyst in nonaqueous phase and optimize the preparation technology and formulation of CHS-SE-GLU-modified liposomes. **Methods** CHS-SE-GLU was synthesized from CHS-SE prepared in previous work and *D*-glucose using lipase Novozym 435 in acetone. The structure characterization of the products is obtained by MS and NMR. The CHS-SE-GLU-modified paclitaxel-loaded brain targeting liposomes (GLU-PTX-LP) were prepared by thin film dispersion method. Single factor evaluation was applied to optimizing its preparation technology and formulation. **Results** CHS-SE-GLU was confirmed by MS and NMR as target products. The optimal formulation and technology of GLU-PTX-LP were as follows: HSPC as membrane material, the ratio of HSPC to PTX was 0.1, the ratio of CHS to HSPC was 0.5, the dosage of DSPG-Na was 2.5%, hydration time was 0.5 h, and hydration temperature was 50 °C. Three batches of samples were prepared by optimum preparation process and the average encapsulation efficiency was (93.62 ± 1.34)%, (93.75 ± 1.77)%, (92.04 ± 1.50)%; The average particle size was (89.56 ± 1.35), (92.05 ± 3.42), (104.91 ± 3.71) nm; And the average Zeta potential was (-25.21 ± 0.27), (-26.43 ± 0.44), (-25.17 ± 0.65) mV, respectively. **Conclusion** Lipase-catalyzed method for the preparation of brain targeting lipid material is simple and environment friendly with high yield. The entrapment efficiency, particle size, and stability of brain targeting drug-loading liposomes modified by CHS-SE-GLU all meet the requirement, which shows

收稿日期: 2016-02-22

基金项目: 广东省自然科学基金项目(2016A030310365); 广东省医学科研基金项目(A2015629); 广东省省级科技计划项目(2014A020221061); 梅州市科技研究与开发资金计划项目(201412); 嘉应学院自然科学项目(2015KJY10)

作者简介: 聂 华(1979—), 男, 博士研究生, 讲师, 研究方向为靶向给药系统及抗肿瘤药物研究。

Tel: 14715048656 E-mail: niehua007@163.com

^{*}通信作者 张声源(1983—),男,博士研究生,讲师,研究方向为中药及天然药物活性成分研究。 Tel: 13750543826 E-mail: mcdullzhang@yeah.net

good application prospect.

Key words: cholesterol derivatives; liposomes; glucose transporter; lipase-catalyzed; brain targeting; nonaqueous media; film dispersion method; paclitaxel; biocatalysis

脑胶质瘤是颅内常见的发生于神经外胚层的恶性肿瘤,来源于星形胶质细胞或少突胶质细胞,占颅内肿瘤的 35.26%~60.9%^[1-2]。但是由于血脑屏障 (blood brain barrier,BBB) 的存在,普通的化疗方式 很难使药物进入肿瘤组织从而起到杀伤肿瘤细胞的作用。目前跨 BBB 的脑靶向策略中,转运体介导转运具有高度识别性,允许药物或载药系统跨细胞膜转运,是递药入脑的主要方法之一^[3-4]。BBB 上存在着大量的转运通道蛋白^[5],其中葡萄糖转运蛋白(glucose transporter-1,GLUT₁)是 BBB 中最高效的转运体^[6],在 BBB 上的密度大约是除红细胞膜外其他组织的 10 倍^[7]。利用 GLUT₁转运体的介导作用,将载体与葡萄糖(glucose,GLU)分子偶联,可实现载体跨 BBB 转运。

脂质体是磷脂、胆固醇等分散在水中形成的类球状、包封一部分水相的的封闭囊泡。脂质体具有很高的亲脂性,可通过如被动转运、与脑血管内皮细胞膜发生膜融合转运至脑实质^[8-9],因此脂质体本身是一种良好的治疗中枢神经系统疾病药物载体。将 GLU 与脂质材料偶联,用于制备 GLU 修饰脂质体,可进一步促进脂质体跨越 BBB,显著增加药物入脑量^[10-11]。胆固醇作为脂质体组成膜材之一,常与靶向功能基团偶联^[11],且多采用化学法合成^[12]。李海姣等^[13]将葡萄糖羟基(GLU-OH)与胆固醇通过化学法共价偶联,然后与磷脂以一定比例混合制备葡萄糖修饰脂质体,体内靶向性研究表明:经GLU 修饰的脂质体具有较好的 BBB 透过性。

GLU 上存在 5 个化学环境相似的-OH, 进一步

的构效关系研究显示: 当载体与 GLU C₆ 位-OH $(C_6$ -OH) 偶联时,GLUT₁ 对其亲和能力最强^[14]。 由于化学合成法很难区分 GLU 上众多化学性质相 近的-OH,为得到某单一反应位点的产物,需预先 对非反应位点的-OH 采取复杂的保护和去保护措 施[15]。脂肪酶是一种具有催化功能的蛋白质,与化 学合成法相比, 具有高效、高区域选择性、低毒等 优点,被称之为绿色催化剂,尤其对糖分子的区域 选择性酯化具有独特的优势。前期研究发现,脂肪 酶 Novozym 435 在非水相中可专一催化 GLU 上 C₆-OH 酯化反应。据此,本研究拟设计一种含葡萄糖 基的脑靶向脂质材料,具体思路如下:利用前期合 成的胆固醇-癸二酸单烯酯(CHS-SE)[16]为起始原 料,在 Novozym 435 催化下,选择性与 GLU 上 C₆-OH 酯化偶联,即得到脑靶向脂质材料胆固醇-癸二酸-葡萄糖酯 [(5-cholesten-3β-yl) (D-glucopyranose-6) sebacate, CHS-SE-GLU](图 1)。将 CHS-SE-GLU 作为靶向头与磷脂、胆固醇、紫杉醇(PTX) 等材料制备出脑靶向载紫杉醇脂质体(GLU-PTX-LP),并对GLU-PTX-LP制备工艺、处方进行优化。

1 仪器与材料

Thermo TSQ Quantum ACESS 三重四极杆液质 联用仪,赛默飞世尔科技有限公司; Bruker 500M 核磁共振波谱仪,瑞士布鲁克公司; Alliance 2695 高效液相色谱仪、2996 PDA 二极管矩阵检测器,美国沃特世公司; B15 型高压均质机,加拿大 AVESTIN 公司; ZetasizerNano ZS90 粒度测定仪,英国马尔文仪器有限公司; Scientz-IID 超声波细胞

图 1 酶催化合成脑靶向脂质材料 CHS-SE-GLU Fig. 1 Lipase-catalyzed synthesis of CHS-SE-GLU

粉碎机,宁波新芝生物科技股份有限公司;BS110s型电子分析天平,德国 Sartorius公司;RE-5299型旋转蒸发仪,上海亚荣生化仪器厂;TGL-16MC冷冻离心机,长沙湘锐离心机有限公司。

胆固醇(cholesterol, CHS), 质量分数>98.5%, 生产批号 A90719, 日本精化株式会社; 氢化大豆磷 脂(hydrogenated soya phosphatide, HSPC, 1-棕榈 酰基-2-硬脂酰基卵磷脂质量分数>98%, 生产批号 B40932)、蛋黄磷脂 (egg yolk lecithin, EPC, 磷脂 酰胆碱质量分数>98%, 生产批号 AL14015), 日本 丘比株式会社; 二硬脂酰磷脂酰甘油钠 (distearoyl phosphatidylglycerole sodium salt, DSPG-Na), 注射 级,上海艾维特有限公司;紫杉醇(paclitaxel,PTX), 质量分数>99%,大连美仑生物技术有限公司;鱼 精蛋白,来源于鲑鱼,Sigma-Aldrich Corporation; Novozym 435 固定化脂肪酶,诺维信生物技术有限 公司; Candida rugosa Lipase (RCL), Sigma-Aldrich Corporation; D-葡萄糖 (D-glucose, GLU)、癸二 酸、乙酸乙烯酯,乙酸汞、乙酸铜、乙酸钠、浓硫 酸,阿拉丁试剂有限公司;微孔滤膜,天津津腾实 验设备有限公司;色谱甲醇,赛默飞世尔科技(中 国)有限公司;柱色谱硅胶,青岛海洋化工有限公 司;石油醚、醋酸乙酯、异辛烷、丙酮、氯仿、乙 醇,广州化学试剂厂;水为自制超纯水。

2 方法与结果

2.1 脑靶向脂质材料 CHS-SE-GLU 合成

2.1.1 癸二酸二乙烯酯 (divinyl sebacicacid, SE) 的制备及结构表征 SE 的制备参照王利娟等[17]开 发的方法,并稍作修改。称取 72.8 g 癸二酸、150 mL 乙酸乙烯酯、2.1 g 乙酸汞及微量乙酸铜,加入到250 mL 三口颈烧瓶中。将盛有上述物质的三口颈烧瓶 在 50 ℃的恒温水浴中加热并搅拌, 10 min 后滴加 0.25 mL 浓硫酸, 反应 8 h。 反应完毕后, 加入约 2 g 乙酸钠充分震荡以中和硫酸。水泵减压蒸馏除去过 量醋酸乙烯酯后,将剩余蓝色液体经硅胶柱色谱, 用石油醚-醋酸乙酯 (9:1) 等度洗脱, 分离得到纯 品 (质量分数 95%以上)。纯品经 MS、NMR 波谱 技术进行结构鉴定为目标产物。波谱数据如下: ESI-MS m/z 277.22 [M+Na]⁺; ¹H-NMR (500 MHz, CDCl₃) δ : 7.28 (H-37, 37', m, 2H), 4.87 (H-38, dd, J =14.0, 1.2 Hz, 2H), 4.55 (H-38', dd, J = 6.3, 1.2 Hz, 2H), 2.37 (H-35, 28, t, J = 7.5 Hz, 4H), 1.65 (H-34, 29, m, 4H), 1.33 (H-30~33, m, 8H); ¹³C-NMR (125 MHz, CDCl₃) *δ*: 171.2 (C-27, 36), 141.6 (C-37, 37'), 97.8 (C-38, 38'), 34.3 (C-28, 35), 29.4 (C-30, 33), 29.3 (C-31, 32), 24.9 (C-29, 34)。

酶促合成胆固醇-癸二酸单烯酯[(5-

cholesten-3β-yl) vinyl sebacicacid, CHS-SE] 及结构 表征^[16] 取具塞锥形瓶, 称取 1.3 g SE、1 g CHS, 加入脱水异辛烷适量溶解,置于恒温震荡器于 45 ℃振摇 30 min 后, 加入 RCL 200 mg, 反应 24 h。 反应结束后,滤过除去 RCL,续滤液真空旋干得黏 稠液体, 然后用适量甲醇超声溶解, 0 ℃下静置 24 h 析晶,低温下真空抽滤,得白色粉未,收率约95%。 产物结构经 MS、NMR 鉴定为目标产物,具体数据 如下: ESI-MS m/z 619.51 [M+Na]⁺; ¹H-NMR (500 MHz, CDCl₃) δ : 7.28 (H-37, m, 1H), 5.37 (H-2, d, J =4.5 Hz, 1H), 4.87 (H-38a, dd, J = 14.0, 1.5 Hz, 1H), 4.61 (H-3, m, 1H), 4.56 (H-38b, dd, J = 6.3, 1.5 Hz, 1H), 2.38 (H-7, t, J = 7.5 Hz, 2H), 2.31 (H-28, d, J =7.3 Hz, 2H), 2.26 (H-35, t, J = 7.5 Hz, 2H), 1.99 $(H-15, m, 2H), 1.78 \sim 1.04 (m, 36H), 1.02 (H-24, s,$ 3H), 0.91 (H-25, d, J = 6.5 Hz, 3H), 0.86 (H-22a, 22b, dd, J = 2.3, 6.6 Hz, 6H), 0.67 (H-26, s, 3H); ¹³C-NMR (125 MHz, CDCl₃) δ : 173.4 (C-27), 171.0 (C-36), 141.4 (C-1), 139.9 (C-37), 122.75 (C-2), 97.6 (C-38), 73.9 (C-3), 56.8 (C-4), 56.3 (C-5), 50.2 (C-6), 42.5 (C-8), 39.9 (C-9), 39.7 (C-10), 38.3 (C-7), 37.2 (C-11), 36.8 (C-12), 36.3 (C-13), 35.9 (C-14), 34.8 (C-28), 34.1 (C-35), 32.0 (C-15), 32.0 (C-16), 29.2 (C-31), 29.2 (C-32, C-30), 29.1 (C-33), 28.4 (C-18), 28.2 (C-19), 28.0 (C-17), 25.2 (C-29), 24.7 (C-34), 24.4 (C-20), 24.0 (C-21), 23.0 (C-22a), 22.7 (C-22b), 21.2 (C-23), 19.5 (C-24), 18.9 (C-25), 12.0 (C-26). 2.1.3 酶促合成 CHS-SE-GLU 及结构表征 取具 塞锥形瓶,称取1gGLU、6.6gCHS-SE,加入脱 水丙酮适量溶解,置于恒温震荡器于45℃振摇30 min 后,加入 Novozym 435 适量,反应 12 h。反应 结束后,滤过除去 Novozym 435,续滤液真空旋干 得产物粗品。粗品经硅胶柱色谱纯化后得白色粉未, 收率约92%。产物结构经MS、NMR鉴定为目标产 物,具体数据如下: ESI-MS m/z 755.59 [M+Na]+; ¹H-NMR (500 MHz, C₅D₅N) δ : 5.90 (H-1', d, J = 3.5 Hz, 1H), 5.42 (H-2, m, 1H), 5.09 (H-6'a, dd, J = 1.6, 11.2 Hz, 1H), 4.91 (H-5', m, 1H), 4.87 (H-3, dd, J =2.8, 5.6 Hz, 1H), 4.84 (H-6'b, m, 1H), 4.76 (H-2', t,

J = 9.1 Hz, 1H), 4.23 (H-3', dd, J = 3.6, 9.5 Hz, 1H), 4.14 (H-4', dd, J = 5.9, 12.4 Hz, 1H), 2.54 (H-7, m,2H), 2.40 (H-28, t, J = 7.5 Hz, 2H), 2.33 (H-35, m, 2H), 2.05~1.06 (m, 38H), 1.03 (H-24, s, 3H), 0.99 (H-25, d, J = 6.5 Hz, 3H), 0.91 (H-22a, 22b, dd, J =1.2, 6.6 Hz, 6H), 0.68 (H-26, s, 3H); ¹³C-NMR (125 MHz, C_5D_5N) δ : 174.1 (C-36), 173.4 (C-27), 140.4 (C-1), 123.2 (C-2), 94.6 (C-1'), 75.7 (C-2'), 74.8 (C-3'), 74.2 (C-3), 72.7 (C-4'), 71.3 (C-5'), 65.6 (C-6'), 57.2 (C-4), 56.8 (C-5), 50.6 (C-6), 42.9 (C-8), 40.3 (C-9), 40.1 (C-10), 39.0 (C-7), 37.6 (C-11), 37.2 (C-12), 36.9 (C-13), 36.4 (C-14), 35.2 (C-28), 34.8 (C-35), 32.6 (C-15), 32.4 (C-16), 29.7 (C-31, 32), 29.7 (C-30), 29.7 (C-33), 28.9 (C-18), 28.6 (C-19), 28.6 (C-17), 25.8 (C-29), 25.6 (C-34), 24.9 (C-20), 24.6 (C-21), 23.4 (C-22a), 23.1 (C-22b), 21.7 (C-23), 19.8 (C-24), 19.4 (C-25), 12.4 (C-26).

2.2 薄膜分散法制备 GLU-PTX-LP^[18]

按处方量称取 HSPC、CHS、CHS-SE-GLU、DSPG-Na 等膜材及 PTX 溶于适量无水氯仿中,真空旋转蒸发除去有机溶剂,制得均匀脂膜,置真空干燥器内干燥过夜。加入一定体积的水溶液,于一定温度下水化,水化一定时间后,探头超声 5 min(超声时间 2 s,间隔时间 2 s,功率为 300 W),高压均质(60、180 MPa,各 3 次),即得 GLU-PTX-LP。

按上述工艺,处方中不加入PTX,其余同上,制备得空白脂质体。

2.3 GLU-PTX-LP 包封率测定

- **2.3.1** 色谱条件 色谱柱为 XBridge Peptide BEH C₁₈柱 (填料孔径 13 nm, 250 mm×4.6 mm, 5 μm); 流动相为甲醇-水 (70:30); 进样量 10 μL, 检测波长 228 nm; PTX 保留时间 8.56 min; 体积流量 0.8 mL/min; 柱温 35 ℃; 理论塔板数大于 3 000。
- 2.3.2 PTX 对照品溶液的制备 精密称定 PTX 对 照品 1 mg, 置于 10 mL 量瓶中, 用乙醇定容, PTX 对照品溶液质量浓度为 100.0 mg/L。
- 2.3.3 供试品溶液的制备 取 GLU-PTX-LP 1 mL 置于 10 mL 量瓶中,用乙醇溶解定容至刻度即得。
- 2.3.4 空白对照溶液的制备 取空白脂质体 1 mL 置于 10 mL 量瓶中,乙醇溶解并定容至刻度即得。
- **2.3.5** 方法专属性 取对照品溶液、供试品溶液及空白对照溶液按上述条件进液相分析,结果在"2.3.1"项色谱条件下,PTX和辅料分离度良好,

峰形稳定,辅料及溶剂对 PTX 的测定无干扰,见图 2。

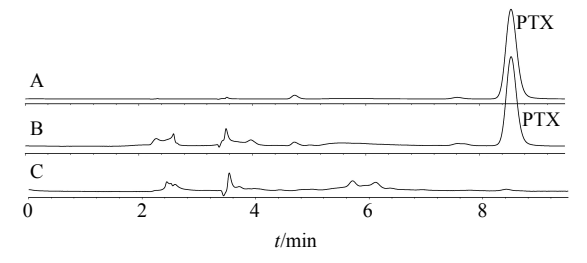


图 2 PTX 对照品 (A)、GLU-PTX-LP 样品 (B) 和空白对照 (C) 溶液的 HPLC 图

Fig. 2 HPLC of PTX reference substance (A), GLU-PTX-LP sample (B), and blank (C) solution

- **2.3.6** 线性关系考察 精密称取 PTX 适量,用甲醇溶解配制成 1 mg/mL 的对照品储备液。精密移取一定量的储备液,配制成 0.4、1、5、10、20、30、40、50、75、100 mg/L 系列溶液,进样量为 10 μ L,按"2.3.1"项色谱条件进行测定,记录峰面积。以质量浓度 (C) 为横坐标,峰面积积分值 (A) 为纵坐标,得回归方程为 A=23 868 C+1 257.4, r^2 =0.999 9 (n=3),结果表明,PTX 在 0.4~100.0 mg/L,峰面积与质量浓度呈良好的线性关系。
- 2.3.7 精密度试验 取 PTX 对照品溶液,连续进样 6次,按"2.3.1"项色谱条件测定 PTX 峰面积, RSD 为 1.05%,表明此方法精密度良好。
- **2.3.8** 稳定性试验 取供试品溶液,分别于 0、2、4、6、8、12、24 h 分别进样,按"2.3.1"项色谱条件测定 PTX 峰面积,RSD 为 2.29%,表明 PTX 溶液在 24 h 内保持稳定。
- 2.3.9 重复性试验 精密量取同一份样品 6 份,每份 1 mL,按 "2.3.3"项下方法制备 6 份 GLU-PTX-LP 供试品溶液,按 "2.3.1"项色谱条件测定 PTX 峰面积,按 "2.3.6"项下回归方程换算成样品中 PTX 的量:44.95、45.28、44.70、44.72、44.62、44.30 mg/L,其 RSD 为 0.67%,表明此方法重复性良好。
- **2.3.10** 加样回收率试验 分别精密移取 PTX 对照品溶液(100 mg/L)0.25、0.50、0.75 mL 加入到 0.5 mL 空白脂质体溶液中,用乙醇破乳定容至 10 mL,得到质量浓度为 2.5、5.0、7.5 μ g/mL 样品溶液,分别进样 10 μ L,测定 PTX 峰面积,代入回归方程得到实际测定质量浓度,计算回收率及 RSD。结果 3个质量浓度样品的平均回收率分别为 99.20%、98.60%、98.67%,RSD 为 0.29%、0.28%、0.43% (n=5),结果表明在此条件下回收率介于 98.0%~

102.0%, RSD<2%, 回收率符合要求。

2.3.11 包封率的测定^[19] 采用鱼精蛋白沉淀法。取 GLU-PTX-LP 溶液 0.1 mL 于锥形离心管中,用超纯水稀释至 1.1 mL,混匀,1 000 r/min 离心 10 min。吸取上清液 1 mL,加入鱼精蛋白 1 mg,混匀,10 000 r/min 离心 15 min 移去上清液,脂质体沉淀用超纯水清洗 2 次,最后所得脂质体沉淀用乙醇溶解定容至 1 mL,制得样品 S_2 ,进液相分析,记为 C_2 ;另取 GLU-PTX-LP 溶液 0.1 mL,乙醇破乳定容至 1 mL,制得样品 S_1 ,进液相分析,记为 C_1 ,包封率按公式(包封率= C_1/C_2)计算。

2.4 GLU-PTX-LP 处方及工艺条件优化

- **2.4.1** 统计分析 采用 SPSS 22.0 统计软件对数据 进行单因素方差分析,组间均数比较采用 F 检验, P<0.05 时差异具有统计学意义。
- 2.4.2 磷脂种类对 GLU-PTX-LP 的影响 磷脂是构成脂质体膜材的主要成分。采用不同种类磷脂制备脂质体,其包封率、粒度、Zeta 电位及稳定性也有所不同。固定其他条件,分别以 EPC、HSPC 为膜材制备 GLU-PTX-LP,考察其对包封率的影响。结果输入 SPSS 22.0 软件分析,发现磷脂种类对包封率、Zeta 电位无显著性影响,对粒径的影响显著(P<0.05)。结果如表 1 所示,HSPC 制得的脂质体包封率较 EPC 高,但粒度大于 EPC,两者 Zeta 电位相似。HSPC 为氢化磷脂,氧化稳定性要远优于EPC。综合考虑,选择 HSPC 作为膜材。

表 1 磷脂种类对 GLU-PTX-LP 的影响 ($\overline{x}\pm s, n=3$)
Table 1 Effect of different phospholipids on GLU-PTX-LP ($\overline{x}\pm s, n=3$)

磷脂种类	包封率/%	粒径/nm	Zeta 电位/mV	PDI
EPC	84.46±1.75	89.25 ± 1.50	-25.95 ± 0.49	0.245 ± 0.042
HSPC	88.36±1.08	163.20±2.36	-23.65 ± 0.78	0.194 ± 0.007

2.4.3 药脂比对 GLU-PTX-LP 的影响 脂质体双分子层对药物的容量有饱和性,过高的药脂比导致脂质体外游离药物增多,降低包封率,而且改变药物在体内的分布行为,影响药物的疗效;而过低的药脂比导致药物浓度过低,同时降低磷脂的利用率。固定其他条件,考察不同 PTX 与 HSPC 比例(质量比)对 GLU-PTX-LP 的影响。结果输入 SPSS 22.0软件分析,显示质量比对 GLU-PTX-LP 包封率、粒径、Zeta 电位均有显著影响(P<0.05)。结果如表2 所示,随着 PTX 与 HSPC 比例逐渐增大,包封率

呈先增后降的趋势,说明脂质体容量饱和前,增加 的 PTX 都包入脂质体中,包封率增大; 当达到饱和 后,过量的 PTX 会游离于脂质体外,包封率反而降 低。当 PTX 与 HSPC 比例为 0.1:1,包封率最高。 2.4.4 磷脂与胆固醇比例对 GLU-PTX-LP 的影响 CHS 作为稳定剂,加入到脂质体中能增加脂质体双 分子膜的流动性,减少膜渗透性,起到稳定脂质体 的作用^[20]。但过量的 CHS 会占用脂质体双分子层 空间,导致对药物容量下降。固定其他条件,考察 不同 CHS 与 HSPC 比例 (质量比)对 GLU-PTX-LP 的影响。结果输入 SPSS 22.0 软件分析,显示磷脂 与胆固醇比例对 GLU-PTX-LP 包封率、粒径、Zeta 电位均有显著影响 (P<0.05)。结果见表 3, 随着 CHS 与 HSPC 比值增大时,包封率先增大后减小, 当其比值为 0.5:1 时,包封率最高,因此确定 HSPC 与 CHS 比值为 0.5:1。

2.4.5 DSPG-Na 用量对 GLU-PTX-LP 的影响 当 脂质体膜表面带电荷时,Zeta 电位越大表示所带电 荷越多,可使由双电层引起的静电斥力增大,凝聚时要克服的能量越大,越不易产生凝聚,从而增加脂质体的稳定性,其包封率也越高^[21]。固定其他条件,考察 DSPG-Na 投入量占磷脂不同质量百分比对 GLU-PTX-LP 的影响。结果输入 SPSS 22.0 软件

表 2 药脂比对 GLU-PTX-LP 的影响 ($\bar{x} \pm s, n = 3$)
Table 2 Effect of different drug-lipid ratios on GLU-PTX-LP ($\bar{x} \pm s, n = 3$)

PTX-HSPC	包封率/%	粒径/nm	Zeta 电位/mV	PDI
0.050:1	78.35 ± 1.41	127.25 ± 0.49	-25.50 ± 0.14	0.262 ± 0.016
0.075:1	86.37 ± 2.16	168.20 ± 0.73	-24.25 ± 0.21	0.228 ± 0.015
0.100:1	89.67 ± 1.00	164.77 ± 0.73	-22.85 ± 0.07	0.289 ± 0.022
0.150:1	83.77 ± 0.04	175.22 ± 1.40	-27.60 ± 0.28	0.254 ± 0.021
0.200:1	66.48 ± 0.67	282.34 ± 1.57	-26.85 ± 0.07	0.197 ± 0.013

表 3 磷脂与胆固醇比例对 GLU-PTX-LP 的影响 ($\overline{x} \pm s$, n=3)

Table 3 Effect of different lecithin-cholesterol ratios on GLU-PTX-LP ($\bar{x} \pm s, n = 3$)

CHS-HSPC	包封率/%	粒径/nm	Zeta 电位/mV	PDI
0.750:1	83.46 ± 0.70	180.71 ± 3.59	-25.50 ± 0.14	0.186 ± 0.009
0.500:1	88.14 ± 1.67	164.86 ± 0.67	-24.75 ± 0.49	0.191 ± 0.004
0.250:1	86.98 ± 1.28	162.53 ± 0.11	-24.15 ± 0.07	0.363 ± 0.069
0.175:1	82.98 ± 0.50	94.83 ± 3.01	-20.45 ± 0.07	0.174 ± 0.026
0.125:1	80.27±1.27	94.52 ± 0.05	-19.60 ± 0.28	0.183 ± 0.006

分析,显示 DSPG-Na 用量对 GLU-PTX-LP 包封率 无显著性影响,对粒径、Zeta 电位均有显著性影响 (*P*<0.05)。结果见表 4,DSPG-Na 的加入可显著增加脂质体表面电位值,当 DSPG-Na 用量占磷脂质量为 2.5%和 5%时,包封率和粒径较好,Zeta 电位绝对值都超过 30 mV,考虑到 DSPG-Na 昂贵的价格,最终确定用量为 2.5%。

表 4 DSPG-Na 用量对 GLU-PTX-LP 的影响 $(\bar{x}\pm s, n=3)$ Table 4 Effect of different DSPG-Na contents on GLU-PTX-LP $(\bar{x}\pm s, n=3)$

DSPG-Na	与44岁/0/	岭尔	7.4. th P://V	DDI
用量/%	包封率/%	私仁/nm	Zeta 电位/mV	PDI
10.0	89.63 ± 0.26	164.75 ± 1.34	-42.65 ± 0.07	0.260 ± 0.019
5.0	90.02 ± 2.09	104.70 ± 1.13	-31.25 ± 0.35	0.229 ± 0.015
2.5	87.43 ± 2.04	88.76 ± 1.97	-32.15 ± 0.21	0.192 ± 0.010
2.0	86.98±1.28	161.90±0.99	-24.50 ± 0.42	0.189 ± 0.005

- 2.4.6 水化时间对 GLU-PTX-LP 的影响 一定的 水化时间有助于磷脂与胆固醇水中闭合成脂质体囊 泡,但过长的水化时间会引起药物和脂质体的氧化,导致包封率下降。固定其他条件,考察不同水化时间对 GLU-PTX-LP 的影响。结果输入 SPSS 22.0 软件分析,显示水化时间对 GLU-PTX-LP 包封率、粒径、Zeta 电位均有显著影响(P<0.05)。结果见表5,1h 水化时间包封率最高,0.5h 水化时间包封率 虽略低于1h,但粒度与 Zeta 电位优于1h,综合考虑,最终确定水化时间为 0.5h。
- 2.4.7 水化温度对 GLU-PTX-LP 的影响 文献报 道氢化磷脂的相转变温度大都在 40 ℃左右,制备 脂质体时往往需要 50 ℃以上的水化温度^[22],有助于增加脂膜的流动性,让药物进入脂质双分子层,但过高的温度亦会引起脂膜的不稳定,而且也会使磷脂氧化加速,导致包封率下降。固定其他条件,考察不同水化温度对 GLU-PTX-LP 的影响。结果输入 SPSS 22.0 软件分析,显示水化温度对 GLU-PTX-

表 5 水化时间对 GLU-PTX-LP 的影响 ($\overline{x}\pm s, n=3$)
Table 5 Effect of different hydration times on GLU-PTX-LP ($\overline{x}\pm s, n=3$)

水化时间/h	包封率/%	粒径/nm	Zeta 电位/mV	PDI
0.5	82.18±1.16	92.79 ± 0.62	-28.45 ± 0.49	0.520 ± 0.105
1.0	86.98 ± 1.28	161.90 ± 0.99	-24.15 ± 0.07	0.414 ± 0.002
2.0	83.71 ± 0.12	220.75 ± 9.26	-16.70 ± 0.28	0.446 ± 0.009

LP 包封率、粒径、Zeta 电位均有显著影响(P<0.05)。结果见表 6,水化温度为 60 \mathbb{C} 时,制得脂质体包封率最高,但粒径相对于 40、50 \mathbb{C} 水化温度时增大约 1 倍;40 \mathbb{C} 时包封率虽略高于 50 \mathbb{C} ,但 Zeta 电位绝对值相对于 50 \mathbb{C} 却降低了约 10 \mathbb{C} 加V,说明 50 \mathbb{C} 制备的脂质体更稳定,综合考虑,确定水化温度为 50 \mathbb{C} 。

表 6 水化温度对 GLU-PTX-LP 的影响 ($\overline{x}\pm s, n=3$)
Table 6 Effect of different hydration temperatures on GLU-PTX-LP ($\overline{x}\pm s, n=3$)

水化温度/℃	包封率/%	粒径/nm	Zeta 电位/mV	PDI
40	84.74 ± 1.18	81.19 ± 0.38	-15.90 ± 0.14	0.144 ± 0.018
50	82.25 ± 0.93	85.57 ± 0.45	-24.05 ± 0.07	0.173 ± 0.017
60	86.98 ± 1.28	161.90±0.99	-24.40 ± 0.28	0.382 ± 0.036

2.5 单因素优化验证试验

通过单因素考察,筛选出各因素最优值,即: 采用 HSPC 作为膜材, HSPC 与 PTX 比例为 0.1:1, CHS 与 HSPC 比例为 0.5:1, DSPG-Na 用量为 2.5%,水化时间 0.5 h,水化温度 50 ℃。采用上述工艺处方制备 3 批样品,测定包封率、粒径和 Zeta 电位,结果见表 7。3 次验证实验的结果基本一致,说明所确定的优化工艺合理可行,稳定可靠,重现性良好。

表 7 验证实验结果 $(\bar{x} \pm s, n = 3)$

Table 7 Results of verification test ($\bar{x} \pm s, n = 3$)

	批号	包封率/%	粒径/nm	Zeta 电位/mV	PDI
06	030701	93.62±1.34	89.56±1.35	-25.21 ± 0.27	0.220 ± 0.039
06	030801	93.75 ± 1.77	92.05 ± 3.42	-26.43 ± 0.44	0.218 ± 0.005
06	022801	92.04±1.50	104.91 ± 3.71	-25.17 ± 0.65	0.226 ± 0.012

3 讨论

本实验设计了一种含葡萄糖基胆固醇衍生物脂质材料 CHS-SE-GLU。该分子由 3 部分组成: 胆固醇基、葡萄糖基以及用于连接 2 部分的长链碳桥。 其亲油性胆固醇基可牢固镶嵌于磷脂双分子层,亲水性葡萄糖基则借助 SE 长链碳桥伸展于脂质体外层,用于被 GLUT₁ 识别并捕获,介导脂质体跨 BBB 转运至脑内病变部位。GLUT₁ 对葡萄糖类似物的识别效率主要取决以下几个因素: GLU 上-OH 取代位置、GLU 在脂质体表面的密度、GLU 与脂质体之间的空间距离等^[10-11],其中载体与 GLU 上-OH 偶联位置起关键作用。Mueckler等^[23]研究发现,GLU

上 C_6 -OH 连接疏水基团时,与 $GLUT_1$ 有较强的亲 和力。为使 CHS-SE 与 GLU 连接点只位于 C₆-OH, 本实验考察了多种脂肪酶在不同溶媒中酯化的结 果,实验结果显示 Novozym 435 催化效果最好。 Novozym 435 是一种来源于 Candida Antarctica B 的 固定化脂肪酶,文献报道可高选择性专一催化 GLU C₆-OH 的酯化^[24]。为验证 CHS-SE 与 GLU 在 Novozym 435 催化下酯化的位点,本实验对比了 ¹³C-NMR 谱图上 GLU 与 CHS-SE-GLU 糖部分碳信 号的位移变化,发现 CHS-SE-GLU 糖基部分 C-6' 信号向低场位移约 δ 2, 而 C-5'信号向高场位移约 δ 3, 其他碳信号位移基本没有变化。通常, 糖部分 OH 被乙酰化会使其烷甲基碳 (α-C) 信号向低场位 移 (δ 2~4), 它的邻位碳 (β-C) 信号向高场位移 $(\delta - 2 \sim -6)$, 这种改变称为苷化位移。利用这个规 律,判定酯化反应只发生在 GLU C-6 位上,与文献 报道的结果一致[24]。

脂质体的靶向疗效与粒径、包封率密切相关。 文献报道^[25], 当脂质体粒径在 100 nm 时, 其被单 核吞噬细胞系统(mononuclear phagocyte system, MPS) 截留的量最少,血循环时间最长,在肿瘤组 织中被截留的量最多。另有研究显示[1],人体其他 部位实体瘤的新生血管内皮间隙在 0.1~2.0 μm, 而 脑胶质瘤的间隙孔径仅为 100 nm 左右, 因此有必 要控制 GLU-PTX-LP 的粒径在 100 nm,以提高其 在脑肿瘤部分的蓄积。包封率是评价脂质体制剂的 制备工艺和质量评价的重要指标,也是较普通制剂 发挥高效、低毒特点并提高药物治疗指数、降低药 物不良反应并减小药物剂量的关键[26]。本实验通过 考察制备方法、膜材组成对 GLU-PTX-LP 包封率及 粒径的影响, 优选出最佳制备工艺及处方, 在此条 件下制备了3批GLU-PTX-LP,结果显示包封率均 超过90%,符合《中国药典》规定的脂质体质量要 求; 粒径 100 nm 左右, 可减少被 MPS 摄取并能透 过脑胶质瘤的间隙发挥靶向治疗作用; Zeta 电位为 (-25.80±0.85) mV (电位绝对值>15 mV), 表明 该纳米制剂具有较好的稳定性[27]。

Qin 等^[10]报道用化学法合成一种葡萄糖-胆固醇衍生物,制备靶向于 BBB 上葡萄糖转运体的新型脂质体。结果显示,体外 BBB 模型上评价葡萄糖修饰的脂质体跨过 BBB 的能力,随着葡萄糖-胆固醇衍生物加入量的增多,脂质体的跨 BBB 能力增强。但文献报道制备葡萄糖-胆固醇衍生物方法较

繁琐,所用试剂亦有一定毒性,不利于产业化应用。相比之下,本实验所设计的脑靶向脂质材料 CHS-SE-GLU,结构与之类似,但因采用生物酶做催化剂,使合成步骤较之大大简化,且反应条件温和,副产物少,纯化方法简便,所用试剂毒性小,目标产物总收率能达 80%以上,应用前景良好。在后继工作中,将通过体外分子生物学和体内组织分布研究进一步评价 GLU-PTX-LP 脑靶向性。

参考文献

- [1] 李剑峰, 蒋 晨. 脑胶质瘤靶向药物递送系统 [J]. 国际药学研究杂志, 2013, 40(5): 573-583.
- [2] 陈素红,张丽丹,金泽武,等. 扶正消瘤方对脑胶质瘤原位移植模型大鼠的作用及机制研究 [J]. 中草药,2015,46(13): 1944-1949.
- [3] Gaillard P J, Visser C C, Appeldoorn C C, *et al.* Targeted blood-to-brain drug delivery-10 key development criteria [J]. *Curr Pharm Biotechnol*, 2012, 13(12): 2328-2339.
- [4] 王丽娟, 刘克辛. 介导肿瘤多药耐药的 ATP 结合盒转 运体的研究进展 [J]. 药物评价研究, 2014, 37(2): 173-177.
- [5] Pardridge W M. Blood-brain barrier delivery [J]. *Drug Discov Today*, 2007, 12(1/2): 54-61.
- [6] Lamanna J C, Harik S I. Regional comparisons of brain glucose influx [J]. *Brain Res*, 1985, 326(2): 299-305.
- [7] Vannucci S J. Developmental expression of GLUT1 and GLUT3 glucose transporters in rat brain [J]. *J Neurochem*, 1994, 62(1): 240-246.
- [8] Torchilin V P. Recent advances with liposomes as pharmaceutical carriers [J]. *Nat Rev Drug Discov*, 2005, 4(2): 145-160.
- [9] 张 丹,廖 芳,周 洁,等. Box-Behnken Design-响应面优化法优化芍药总苷脂质体的制备工艺及体外释放研究 [J]. 中草药, 2015, 46(3): 359-364.
- [10] Qin Y, Fan W, Chen H, et al. In vitro and in vivo investigation of glucose-mediated brain-targeting liposomes [J]. J Drug Target, 2010, 18(7): 536-549.
- [11] Xie F, Yao N, Qin Y, *et al.* Investigation of glucose-modified liposomes using polyethylene glycols with different chain lengths as the linkers for brain targeting [J]. *Int J Nanomed*, 2012, 7: 163-175.
- [12] Qu B, Li X, Guan M, *et al.* Design, synthesis and biological evaluation of multivalent glucosides with high affinity as ligands for brain targeting liposomes [J]. *Eur J Med Chem*, 2014, 72(1): 110-118.
- [13] 李海姣, 樊 维, 李贤坤, 等. 脑靶向脂质体配体葡萄糖-胆甾偶联物的设计与合成 [J]. 华西药学杂志,

- 2010(3): 251-253.
- [14] Barnett J E, Holman G D, Munday K A. Structural requirements for binding to the sugar-transport system of the human erythrocyte [J]. *Biochem J*, 1973, 131(2): 211-221.
- [15] Vulfson E N. Enzymatic synthesis of food ingredients in low-water media [J]. *Trends Food Sci Tech*, 1993, 4(7): 209-215.
- [16] 聂 华, 郑品劲, 罗利华, 等. 有机相脂肪酶催化合成脂质体修饰物胆固醇癸二酸单烯酯 [J]. 中草药, 2013, 44(23): 3289-3295.
- [17] 王利娟, 刘 准, 郭登峰, 等. 乙烯基交换合成壬酸乙烯酯工艺研究 [J]. 热固性树脂, 2012, 27(4): 29-32.
- [18] Nie H, Zheng P, Luo L, et al. Optimization of lipase-catalyzed synthesis of novel galactosyl ligands for selective targeting of liposomes to the asialoglycoprotein receptor [J]. Biocatal Biotransfor, 2015, 33(2): 130-139.
- [19] Shieh M, Chu I, Lee C, *et al*. Liposomal delivery system for taxol [J]. *J Ferment Bioeng*, 1997, 83(1): 87-90.
- [20] Chen C, Han D, Cai C, *et al*. An overview of liposome lyophilization and its future potential [J]. *J Controlled Release*, 2010, 142(3): 299-311.

- [21] 郭海燕, 莫穗林. 脂质体物理稳定性和包封率的影响 因素 [J]. 中国新药杂志, 2004, 13(6): 498-501.
- [22] 王向涛, 杨天智, 李 沙, 等. 饱和磷脂脂质体的室温下制备及其性质的研究 [J]. 药学学报, 2002, 37(12): 976-980.
- [23] Mueckler M, Makepeace C. Transmembrane segment 6 of the Glut1 glucose transporter is an outer helix and contains amino acid side chains essential for transport activity [J]. J Biol Chem., 2008, 283(17): 11550-11555.
- [24] Degn P, Zimmermann W. Optimization of carbohydrate fatty acid ester synthesis in organic media by a lipase from Candida antarctica [J]. *Biotechnol Bioeng*, 2001, 74(6): 483-491.
- [25] 杨莉斌, 沈 静, 胡 荣. 抗肿瘤药物脂质体粒径对肿瘤靶向性的影响 [J]. 华西药学杂志, 2007, 22(4): 428-430.
- [26] Zhang X M, Patel A B, de Graaf R A, et al. Determination of liposomal encapsulation efficiency using proton NMR spectroscopy [J]. Chem Phys Lipids, 2004, 127(1): 113-120.
- [27] 喻 樊. 绞股蓝总皂苷脂质体的制备与表征 [J]. 中草药, 2013, 44(18): 2526-2530.